



## بررسی فرایند پیش‌تغییط توریم در سنگ معدن آنومالی ۵ ساغند با استفاده از مارپیچ همفری و بهینه‌سازی آن با روش آماری

علیرضا خانچی<sup>\*</sup>، حسن صدیقی، شیدا انصار، جواد فصیحی رامندی، ایرج اکبری

پژوهشکده‌ی چرخه‌ی سوخت هسته‌ای، پژوهشگاه علوم و فنون هسته‌ای، سازمان انرژی اتمی، صندوق پستی: ۱۱۳۶۵-۸۴۸۶، تهران - ایران

**چکیده:** جداسازی با مارپیچ همفری یکی از شیوه‌های کنسانتره‌سازی کانی‌ها است که اساس آن روش‌های ثقلی است. عملکرد کنسانتره‌سازی در فرایندهای فرآوری مواد معدنی، به وسیله‌ی عیار و بازیابی مشخص می‌شود. این عامل‌ها وابسته به انتخاب مناسب متغیرهای فرایندی است. در این مقاله آرایه‌ی متعدد L<sub>9</sub> برای طراحی آزمایش‌ها بر مبنای بهینه‌سازی چندگانه برای دست‌یابی به بالاترین عیار و بازیابی مورد استفاده قرار می‌گیرد. در این آزمایش‌ها پارامترهای نرخ خوراک‌دهی، درصد جامد پالپ و اندازه‌ی ذرات ورودی خوراک مورد بررسی قرار گرفته و نتایج آزمایش‌ها نشان می‌دهند که دستگاه مارپیچ همفری، برای پیش‌کنسانتره‌سازی مطلوب بوده و با بهینه‌سازی پارامترهای مؤثر بر عملکرد آن، عیار و بازیابی توریم، به ترتیب، ۴۹ و ۵ درصد افزایش می‌یابد.

**کلیدواژه‌ها:** پیش‌تغییط، توریم، آنومالی ۵ ساغند، مارپیچ همفری، بهینه‌سازی

## Investigation of Thorium Preconcentration Process on 5<sup>th</sup> Anomaly of the Saghand Ore and its Optimization Using Statistical Method

A.R. Khanchi\*, H. Sedighi, Sh. Ansar, J. Fasihi, I. Akbari

Nuclear Fuel Cycle Research School, Nuclear Science and Technology Research Institute, AEOI, P.O.Box: 11365-8486, Tehran – Iran

**Abstract:** The Humphrey spiral is one of the mineral concentration techniques based on gravity separation. In various mineral processes, the characteristics of concentration performance are indicated by the grade and recovery factors. These factors depend on appropriate selection of process parameters. In this work, The L<sub>9</sub> orthogonal array is used in the design of an experiment based on multi-objective optimization method to achieve the maximum concentration grade and recovery. The input process parameters that have been considered are the feed size, feed rate, and feed solids. The results show that the Humphrey spiral can be considered as a suitable technique for the preconcentration of thorium. Accordingly, upon considering the parameters which are affecting the performance of the Humphrey spiral, the grade and recovery of thorium increase to 49 and 5 percent, respectively.

**Keywords:** Preconcentration, Thorium, 5<sup>th</sup> Anomaly of Saghand, Humphrey Spiral, Optimization

\*email: akhanchi@aeoi.ac.ir

تاریخ دریافت مقاله: ۹۱/۷/۱۱ تاریخ پذیرش مقاله: ۹۲/۶/۹





## ۱. مقدمه

روش‌های فرآوری ثقلی، مغناطیسی و الکترواستاتیکی استفاده می‌شود. فلوتاسیون روشی استاندارد برای استحصال مونازیت از ذخایر گرمـآبی و آذرین است، با وجود این، روش‌های فیزیکی مانند روش‌های ثقلی برای پیش‌تغییظ در این گونه ذخایر استفاده می‌شود. پس از بالا بردن عیار توریم در کنسانتره با استفاده از روش‌های فیزیکی و فلوتاسیون، برای استخراج از روش‌های هیدرومالتورژی استفاده می‌شود. در این فرایند کانی‌ها در محلول اسیدی یا قلیایی حل و به این ترتیب، توریم به صورت یون وارد محلول می‌شود [۸، ۷].

دستگاه جداکننده مارپیچ همفری یکی از دستگاه‌های مهم در کنسانتره‌سازی کانی‌ها است که اساس کار آن بر مبنای روش ثقلی است. پارامترهایی که در عملکرد دستگاه مارپیچ همفری اثر گذارند عبارت از نرخ جریان خوراک ورودی، اندازه‌ی ذرات، درصد جامد خوراک ورودی و موقعیت جداکننده کنسانتره و باطله هستند [۱۰، ۹]. کنسانتره‌سازی مطلوب با استفاده از دستگاه مارپیچ همفری وابسته به انتخاب مناسب پارامترهای عملیاتی دستگاه و درصد جامد خوراک ورودی به دستگاه است [۱۱]. بنابراین تعیین مقدار بهینه‌ی پارامترهای عملیاتی دارای اهمیت فراوان است.

در طراحی آزمایش برای بهینه‌سازی یک شاخص کیفیت در یک زمان، در اغلب موضع بدون در نظر گرفتن شاخص‌های کیفیت دیگر اقدام به انجام آزمایش می‌کنند. نتایج پژوهش‌های مختلف نشان داده که تنظیم پارامترهای بهینه‌سازی برای یک شاخص مخصوص ممکن است، بر روی دیگر پارامترهای کیفیت تأثیر منفی بگذارد. اما همیشه شرایطی مطلوب است که تمام شاخص‌های کیفیت مستقلی در فرایند کنسانتره‌سازی محسوب می‌شوند، به طور هم‌زمان در یک فرایند تولید محصول و یا فرایند مشابه باید بهینه شوند. آنتونی نشان داد که تابع زیان کیفیت تاگوچی بر مبنای روش بهینه‌سازی چندگانه برای فرایندهای صنعتی می‌تواند روشی برای حل این مشکلات باشد. او ارتقاء قابل توجهی در بهینه‌سازی شاخص‌های کیفیت چندگانه، در مقایسه با بهینه‌سازی یک شاخص کیفیت به دست آورد [۱۲].

در فرایندهای فرآوری مواد معدنی، انجام آزمایش‌های مقایسه‌ای ضروری است تا امکان دست‌یابی به عملکرد بهتر،

توریم به صورت گسترده در طبیعت توزیع شده است، این عنصر غالباً به همراه لانثانیدها در طبیعت مشاهده می‌شود. با وجود ناشاخته بودن میزان دقیق ذخیره‌های توریم به عنوان یک عنصر راهبردی، ذخیره‌های شناخته شده‌ی آن نشان می‌دهد که مقدار توریم موجود در جهان تقریباً سه برابر اورانیم است [۱]. توریم می‌تواند طی فرایند زیاسازی، به اورانیم-۲۳۳ (U) تبدیل شده و به عنوان سوخت رآکتور مورد استفاده قرار بگیرد. استفاده از چرخه‌ی سوخت توریم در مقایسه با چرخه سوخت اورانیم، مقدادر کمتری پلوتونیم و دیگر عناصر فرااورانیم تولید می‌کند [۲].

توریم در چندین کانی یافت می‌شود؛ رایج‌ترین ذخیره‌های آن، ذخیره‌های فسفاته‌ی عناصر خاکی نادر- توریم (مونازیت) است. مقدار متوسط توریم در کانی مونازیت ۶ الی ۷ درصد و حداقل مقدار توریم اکسید موجود در آن ۱۲ درصد است. ذخیره‌های مونازیت موجود در جهان ۱۲ میلیون تن برآورد شده است، که دو سوم آن در ذخیره‌های پلاسری و در قسمت شرقی هند قرار دارد. ذخیره‌های توریم در دنیا در کشورهای مختلفی شناسایی شده‌اند. بزرگ‌ترین ذخیره‌های توریم دنیا در استرالیا، هند، آمریکا، نروژ، کانادا و کشورهایی چون بربادل و آفریقای جنوبی واقع شده‌اند [۳]. یکی از ذخیره‌های عناصر خاکی نادر شامل توریم در منطقه‌ی ساغند (شمال استان یزد) واقع شده است، که عیار میانگین آن ۰،۵ درصد تخمین زده شده است [۴]. کانسنگ ساغند منشأ گرمـآبی دارد و از نوع ذخیره‌های متاسوماتیک است. این ذخیره علاوه بر عناصر خاکی نادر، شامل ایلمنیت، هماتیت، کلسیت، مونازیت (کانسنگ اصلی توریم) و اورانینیت (کانسنگ اصلی اورانیم) است. مونازیت مهم‌ترین کانی حاوی عناصر خاکی نادر و توریم در کانسنگ ساغند است. مونازیت ساغند به عنوان مونازیت پرتوزا طبقه‌بندی می‌شود؛ مونازیت پرتوزا به طور متوسط حاوی ۶ درصد توریم و ۰،۳ درصد اورانیم است [۵، ۶].

برای استحصال توریم از سنگ معدن چندین روش وجود دارد. این روش‌ها شامل ترکیبی از روش‌های ثقلی، مغناطیسی و الکترواستاتیکی با روش فروشویی است. در پلاسرهای ساحلی برای جدا کردن عناصر خاکی نادر و توریم عمده‌تاً از ترکیبی از



کانی‌های ایلمنیت ( $\text{Fe}_2\text{O}_3$ ،  $\text{FeTiO}_3$ ، هماتیت ( $\text{Fe}_2\text{O}_3$ ، مینیت ( $\text{Fe}_3\text{O}_4$ ، کلسیت ( $\text{CaCO}_3$ ، باستازیت ( $\text{LnFCO}_3$ ) و مونازیت ( $\text{CeO}_4$ ) در نمونه است (جدول ۲). مطالعه‌ی این نمونه با استفاده از میکروسکوپ نوری نشان داد که کانی مونازیت به صورت پراکنده در ترکیب سیمانی ایلمنیت و هماتیت قرار گرفته است، از این‌رو کانی‌های اصلی تشکیل‌دهنده‌ی توریم (مونازیت) در طی فرایند خردایش اولیه در بخش‌های درشت دانه تمکز بیشتری از خود نشان داد. نتایج تجزیه‌ی کانسنگ آنومالی ۵ ساغند نشان داد که مقدار توریم در نمونه کم‌تر از ۱۷۰ ppm بود.

## ۲.۲ دستگاه‌ها

برای انجام آزمایش‌ها از دستگاه مارپیچ همفری ساخت شرکت دانش فراوان استفاده شد. این دستگاه شامل ۵ پیچ، جنس مارپیچ آن، فایبر‌گلاس، ظرفیت (تن در ساعت) آن، ۰،۵ تا ۱،۵ دارای یک نقطه‌ی خوراک‌دهی، حجم مخزن خوراک‌دهنده‌ی آن ۶۰ لیتر، جنس مخزن آن فولاد زنگ نزن، و پمپ آن سانتریفوژ پلی‌اتیلن بود.

برای تجزیه‌ی عنصری از دستگاه پلاسمای جفت شده‌ی القایی مدل Elmer Optima 3000 Dv Icp Aes، برای شناسایی فازها Stoe Stadi-P-Cu K $\alpha$ ۱ مدل K $\alpha$ ۱ استفاده شد. تفسیر نتایج پراش پرتو ایکس با استفاده از نرم‌افزار panalytical x'pert highscore به انجام رسید.

توسط فرایند مورد ارزیابی قرار گیرد. در بعضی از کارخانه‌های فرآوری مواد معدنی افزایش ۱ تا ۲ درصدی در عیار و بازیابی، بازدهی اقتصادی قابل توجهی را به همراه خواهد داشت [۱۳]. در فرایند پیش‌تغییظ توریم دست‌یابی به بالاترین عیار و بازیابی مطلوب است، زیرا علاوه بر کاهش هزینه، زمان فرایندهای خالص‌سازی را نیز به مقدار قابل توجهی کاهش می‌دهد.

با توجه به این که تاکنون هیچ کار تجربی به منظور افزایش هم‌زمان عیار و بازیابی توریم با مارپیچ همفری در ایران انجام نشده است، بررسی بهینه‌سازی هم‌زمان عیار و بازیابی پیش‌کنسانتره‌ی توریم حاصل از این دستگاه امری ضروری است. هدف این پژوهش، بررسی امکان کاربرد جداکننده‌ی مارپیچ همفری در پیش‌تغییظ توریم از سنگ معدن آنومالی ۵ ساغند و بهینه‌سازی هم‌زمان عیار و بازیابی توریم در فرایند کنسانتره‌سازی با آن است.

## ۲. مواد و روش‌ها

### ۱.۲ مشخصه‌یابی کانسنگ اولیه

تهیه‌ی نمونه‌ی معرف با استفاده از روش تقسیم مخروطی و تقسیم‌های متوالی با ریفل انجم شد سپس به منظور مشخصه‌یابی نمونه‌ی تهیه شده از آنومالی ۵ ساغند، از پراش‌سنجی پرتو ایکس (XRD) و تجزیه‌ی عنصری با دستگاه پلاسمای جفت شده‌ی القایی (ICP) استفاده شد. نتایج تجزیه‌ی عنصری در جدول ۱ نشان داده شده است. الگوی پرتو ایکس حاکی از حضور

جدول ۱. نتایج تجزیه‌ی عنصری کانسنگ آنومالی ۵ ساغند (در سطح اطمینان ۹۵ درصد)

عنصر	Ce	La	Nd	Pr	Sm	Gd	Eu	Tb	Dy	مقدار (ppm)
	۷۱۰±۷۹۹	۸۱۲±۱۰۴۷	۱۴۴±۱۷۲	۵۳±۰،۶۲	۵±۰،۰۶	۷۰±۰،۸۹	۷±۰،۰۸	۹±۰،۱۲	۸۵±۱،۱۱	
عنصر	Ho	Er	Tm	Yb	Lu	Y	Th	U	مقدار (ppm)	
	۵±۰،۱۱	۸۲±۱،۶۹	۱۵±۰،۲۶	۱۰۳±۱،۳۳	۱۰±۰،۱۴	۷۵۰±۱۱،۸۴	۱۶۲±۱،۴۷	۲۰۵±۱،۸۹		

جدول ۲. نتایج پراش پرتو ایکس (XRD) و میکروسکوپ نوری

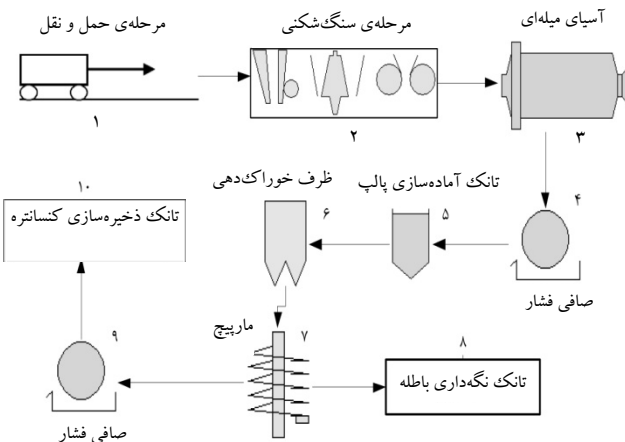
کانی	کلسیت	هورنبلند	متیت	کانی اصلی	توزع کانی				
ایلمنیت			هماتیت	کانی اصلی					
کانی اصلی			کانی اصلی	کانی اصلی	کانی اصلی	کانی اصلی	کانی اصلی	کانی اصلی	کانی اصلی
روتیل			دیویدلیت-اورانیت	سرپیدوت	دیویدلیت	کوارتز	کلریت	کانی	کانی اصلی
کانی فرعی (کم)	کانی فرعی (کم)	کانی فرعی (کم)	کانی فرعی (کم)	کانی فرعی (کم)	کانی فرعی (کم)	کانی فرعی (کم)	کانی فرعی (کم)	کانی فرعی (کم)	کانی فرعی (کم)



## ۳.۲ روش آزمایش

نمونه معرف تهیه شده پس از آماده‌سازی، با استفاده از سنگ‌شکن‌های فکی، استوانه‌ای و آسیای میله‌ای تا زیر ۱۰۰۰ میکرون خرد شد. آزمایش‌ها به صورت ناپیوسته مطابق روندنمای شکل ۱ انجام شد. همان‌طور که در شکل مشاهده می‌شود، روندنمای پیش‌تغليظ شامل دستگاه‌های خردایش، دستگاه مارپیچ آزمایشگاهی، تانک همزندار برای آماده‌سازی پالپ<sup>(۱)</sup>، پمپ برای تغذیه مارپیچ با نرخ جریان ثابت و ظروف جمع‌آوری کنسانتره و باطله است. پالپ تهیه شده با درصد جامد مشخص به تانک همزدن‌دار منتقل و به مدت ۴۰ دقیقه هم‌زده شد. پالپ همگن موجود در تانک با استفاده از پمپ و با نرخ جریان ثابت به داخل مارپیچ همفری منتقل شد. پارامترهای عملیاتی که عبارت بودند از اندازه‌ی ذرات (A)، درصد جامد پالپ (B) و نرخ جریان پالپ ورودی به مارپیچ همفری (C)، به عنوان متغیرهای فرایندی در نظر گرفته شدند. با توجه به این که نحوه‌ی تنظیم دریچه‌ی کنسانتره به کنترل دقیق جریان پالپ بستگی داشت، با کنترل دقیق این دریچه می‌شد به جدایش مطلوبی دست یافت.

آزمایش‌های اولیه نشان داد که دریچه‌ی کنسانتره، مستقل از نرخ جریان‌های ورودی عمل می‌کرد، به عبارت دیگر نرخ جریان‌هایی که در این آزمایش در نظر گرفته شدند تأثیری بر کارآیی دریچه‌ی کنسانتره نداشتند. بنابراین در این آزمایش‌ها دریچه به عنوان یک متغیر در طراحی آزمایش منظور نشد و در طول آزمایش‌ها، تنظیم دریچه به نحوی انجام شد که با توجه به نرخ جریان ورودی، کنسانتره با عیار یکنواخت از آن خارج شد. به این منظور تنظیم دقیق این دریچه براساس نرخ جریان ورودی و به طور تجربی انجام شد. در طی انجام هر آزمایش از خروجی کنسانتره تحت شرایط ثابت نمونه‌برداری شد. نمونه‌های برداشت شده پس از عبور از صافی، خشک و پس از توزین برای تعیین عیار و محاسبه‌ی بازیابی مورد استفاده قرار گرفت. از هر نمونه، ۳ گرم توزین و بر روی آن ۱۰ میلی‌لیتر هیدروکلریک اسید و ۵ میلی‌لیتر نیتریک اسید اضافه، و درون اتوکلاو با پوشش تفلون در دمای ۲۰۰ درجه سانتی‌گراد برای مدت زمان ۲ ساعت حرارت داده شد. سپس فرصت کافی برای خنک شدن اتوکلاوه داده شد و در نهایت محلول درون آن برای تجزیه شدن با دستگاه پلاسمای جفت شده‌ی القایی رقیق و آماده‌سازی شد.



شکل ۱. روندنمای فرایند پیش‌کنسانتره‌سازی.

## ۴.۲ طراحی آزمایش‌ها بر مبنای روش تاگوچی

روش تاگوچی در طراحی آزمایش‌ها یکی از قوی‌ترین شیوه‌های کنترل کیفیت آماری است که در آن سطح‌های عامل‌های کنترلی به گونه‌ای انتخاب می‌شوند که تغییرات به وجود آمده در پاسخ‌ها به علت نویز و عامل‌های غیر قابل کنترل مانند رطوبت، ارتعاش و درجه‌ی حرارت محیط ختنی شود. در روش تاگوچی طراحی آزمایش‌ها براساس آرایه‌های متعامد استاندارد انجام می‌شود [۱۴، ۱۵]. در تمامی آزمایش‌ها، مقدارهای شاخص‌های کیفیت<sup>(۲)</sup> برای محاسبه‌ی مقدارهای زیان کیفیت<sup>(۳)</sup> برای هر شاخص مورد استفاده قرار می‌گیرد. در یک فرایند، تابع زیان کیفیت بسته به طبیعت شاخص‌های کیفیت می‌تواند دارای اشکال مختلفی باشد. در این کار پژوهشی (کنسانتره‌سازی مونازیت حاوی توریم) مقدارهای بالاتر برای هر دو پارامتر عیار و بازیابی مطلوب است، بنابراین تابع زیان کیفیت در آزمایش شماره‌ی آم (Li)، براساس هدف مقدارهای بیشتر نتیجه مطلوب‌تر، چنین ارایه می‌شود [۱۶]

$$Li = \left[ \frac{1}{n} \sum_{i=1}^n \frac{1}{y_i} \right] \quad (1)$$

که در آن،  $y_i$  نتیجه‌ی مشاهده شده در آزمایش آم است که دارای سطح‌های پارامتر یکسان هستند و  $n$  تعداد آزمایش‌ها است. برای بهینه‌سازی هم‌زمان چند شاخص کیفیت، باید مقادیر زیان کیفیت  $Lij$  بهنجار شود، زیرا یکای شاخص‌های کیفیت با هم مشابه نیستند [۱۶]

$$\hat{l}_{ij} = \frac{l_{ij}}{l_{i*}} \quad (2)$$



موردن استفاده قرار می‌گیرد. اهمیت نسبی عامل‌ها اغلب با کمیت F-ratio یا درصد اثر ارایه می‌شود. مقادیر بالاتر نشان‌دهنده‌ی اهمیت بیشتر آن متغیر فرایندی است.

برای انجام این آزمایش‌ها سه سطح برای هر یک از سه عامل و بدون در نظر گرفتن اندرکنش آن‌ها در نظر گرفته شد. بر این اساس، آرایه‌ی متعارف  $L_9$  برای این آزمایش‌ها انتخاب شد. مقادیرهای عددی عامل‌های کنترلی در سطح‌های متفاوت در جدول ۳ داده شده است. در جدول ۴ آزمایش‌ها به همراه سطح‌های متفاوت عامل‌های کنترلی در هر آزمایش ارایه شده است. به طور کلی ۹ آزمایش با دو بار تکرار به روش تاگوچی انجام گرفت، و در هر آزمایش سطح‌های متفاوتی از عامل‌ها انتخاب شد تا اطلاعات کافی جهت تعیین اثر هر عامل در آزمایش‌ها فراهم شود.

### ۳. نتایج و بحث

مقدارهای عیار و بازیابی در هر آزمایش بر مبنای طراحی  $L_9$  در جدول ۴ داده شده است. همان‌طور که مشاهده می‌شود بالاترین عیار برای توریم به طور متوسط ۴۵۶ ppm در آزمایش ۵ به دست آمد، این در حالی است که کمترین مقدار عیار را در آزمایش ۱ می‌توان یافت. ارزیابی نتایج بازیابی نشان داد که بالاترین بازیابی در آزمایش ۴ قابل دست‌یابی بود.

جدول ۳. متغیرهای عملیاتی و سطح‌های آن‌ها

				متغیر	
				نماد	یکا
					سطح ۱
۳	۱۰۰	۷۰۰	۵۰۰	$\mu\text{m}$	A
۴	۲۰	۱۵	%	B	اندازه‌ی ذرات
۵	۱,۵	۱	۰,۵	L/s	C
					درصد خامد خوارک
					نرخ جریان خوارک

جدول ۴. طرح تاگوچی  $L_9$  و عیار و بازیابی توریم

آزمایش	نتیجه‌ها			سطح‌های عامل‌ها			شماره‌ی آزمایش	
	عیار (ppm)			C	B	A		
	بازیابی (%)	آزمایش ۱	آزمایش ۲					
۱	۵۰,۵۷	۵۸,۱۴	۲۹۷	۲۷۳	۱	۱	۱	
۲	۴۷,۸۱	۵۲,۰۴	۳۱۰	۳۱۴	۲	۲	۲	
۳	۴۳,۵۱	۴۹,۹۲	۳۷۱	۲۸۴	۳	۳	۳	
۴	۵۹,۴۵	۵۵,۰۸	۴۱۸	۴۲۵	۲	۱	۴	
۵	۵۷,۴۹	۴۹,۹۸	۴۸۰	۴۳۲	۳	۲	۵	
۶	۵۱,۰۵	۵۶,۰۶	۳۰۹	۳۴۹	۱	۳	۶	
۷	۵۳,۷۳	۵۲,۰۲	۵۱۴	۲۹۷	۳	۱	۷	
۸	۴۱,۶۱	۵۶,۱	۳۸۱	۳۴۶	۱	۲	۸	
۹	۴۷,۳۷	۴۸,۹۶	۳۳۳	۳۳۹	۲	۳	۹	

که در آن، زیان کیفیت بهنجار شده برای  $\bar{\eta}_{\text{opt}}$  این شاخص کیفیت در زامین شرایط آزمایش است و  $\bar{\eta}_{\text{opt}}$  کیفیت بیشینه برای  $\bar{\eta}_{\text{opt}}$  این شاخص کیفیت در تمام آزمایش‌های انجام شده است.  $\bar{\eta}_{\text{opt}}$  از حداقل مقدار صفر تا حداً کثیر مقدار ۱ تغییر می‌کند. اگر  $W_i$  ضریب وزنی برای  $\bar{\eta}_{\text{opt}}$  این شاخص کیفیت و  $p$  تعداد شاخص کیفیت باشد، پس زیان کیفیت بهنجار شده کلی برای  $\bar{\eta}_{\text{opt}}$  شرایط آزمایش ( $L_9$ ) چنین محاسبه شود [۱۶]

$$\text{TNQL}(L_9) = \sum_{i=1}^p w_i \bar{\eta}_{ij} \quad (3)$$

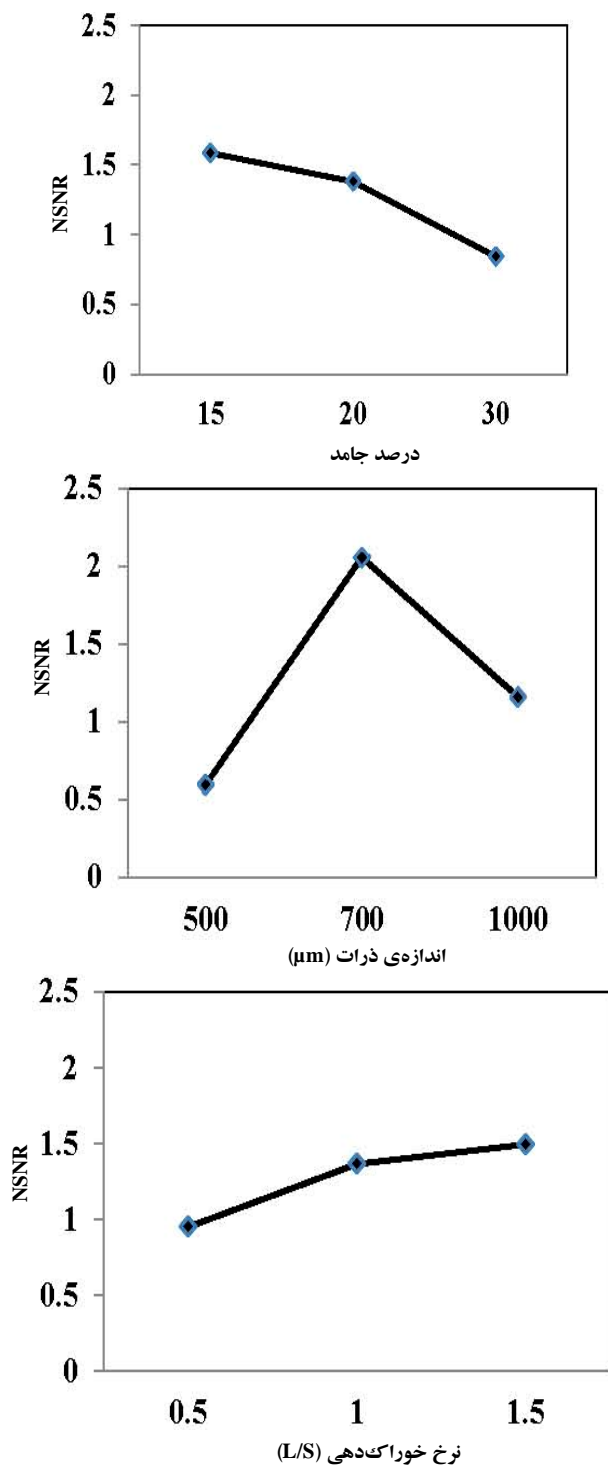
نسبت چندگانه‌ی سیگنال به نویز ( $\text{MSNR}$ ) برای ارایه‌ی شاخص کیفیت  $\bar{\eta}_{\text{opt}}$  در طراحی مورد استفاده قرار می‌گیرد. نسبت سیگنال به نویز ( $S/N$ ) نشان‌دهنده‌ی نسبت بخش مطلوب به بخش نامطلوب است.  $\text{MSNR}$  با  $\bar{\eta}_{\text{opt}}$  شرایط آزمایش ( $\eta_{\text{opt}}$ ) متناظر است که چنین محاسبه می‌شود

$$\eta_{\text{opt}} = -10 \log_{10}(\text{TNQL}(L_9)) \quad (4)$$

هدف آزمایش بهینه‌سازی، افزایش مقدار  $\text{MSNR}$  است. مقادیر میانگین برای  $\text{MSNR}$ ها، وقتی یک متغیر فرایندی در آزمایش‌های مختلف ثابت است، برای تفسیر اثر این متغیر بر روی شاخص کیفیت مورد استفاده قرار می‌گیرد. سطح متغیر متناظر با بیشینه‌ی میانگین  $\text{MSNR}$ ها، سطح بهینه برای آن متغیر نامیده می‌شود. مقادیر قابل پیش‌بینی ( $\eta_{\text{opt}}$ )  $\text{MSNR}$  در شرایط بهینه‌ی سطح‌های متغیرها چنین محاسبه می‌شود [۱۷]

$$\eta_{\text{opt}} = \bar{\eta} + \sum_{i=1}^k (\eta_{mi} - \bar{\eta}) \quad (5)$$

که در آن  $\bar{\eta}$  میانگین  $\text{MSNR}$  برای تمامی آزمایش‌ها است،  $K$  تعداد عامل‌های کنترلی است و  $\eta_{mi}$  متوسط  $\text{MSNR}$  برای  $\bar{\eta}_{mi}$  عامل کنترلی متناظر با سطح بهینه‌ی متغیر است. به منظور تأیید پاسخ‌های پیش‌بینی شده‌ی تعدادی آزمایش، اعتبارسنجی نتایج به دست آمده از آزمایش‌ها در شرایط بهینه‌ی پیشنهادی انجام می‌شود [۱۴]. تحلیل واریانس (ANOVA) برای تخمین درصد اثر کمی هر عامل کنترلی بر روی پاسخ‌های اندازه‌گیری شده،



شکل ۲. اثر سطح‌های عامل‌ها بر نسبت‌های S/N چندگانه

به منظور ارزیابی اثر هر عامل بر روی عیار و بازیابی، مقدارهای نسبت S/N برای هر عامل باید محاسبه می‌شد. برای محاسبه کل زیان کیفیت بهنجار شده (TNQL)، برای هر دو شاخص کیفیت عیار و بازیابی، درصد اهمیت یکسان در نظر گرفته شد، یعنی در این آزمایش‌ها  $W_1=W_2=0.5$ . نسبت سیگنال به نویز چندگانه (MSNR) برای هر عامل از طریق میانگین گیری از مقدارهای TNQL در سطوح‌های متفاوت محاسبه شد. این نتایج در جدول ۵ داده شده است.

نمودارهای اثر سطح‌های عامل‌ها بر MSNR (شکل ۲) نشان می‌دهد که برای سه عامل اندازه‌ی ذرات، درصد جامد و نرخ خوراک‌دهی شب خطوط بین سطح‌های متفاوت، یکسان نیست. بنابراین، سطح‌های مختلف هر عامل اثرهای متفاوتی بر روی MSNR دارد. افزایش در مقدار MSNR، هنگامی که نرخ خوراک‌دهی از ۰/۵ به یک تغییر می‌کند به مراتب بیشتر از هنگامی است که نرخ خوراک‌دهی از ۱ به ۱/۵ لیتر بر ثانیه افزایش می‌یابد. بنابراین می‌توان نتیجه گرفت که شب خوراک‌دهی بالاتر از ۱ لیتر بر ثانیه ثابت می‌ماند. با وجود این، شب خط برای درصد جامد بین سطح‌های ۱۵ تا ۲۰ درصد کم‌تر از شب آن در فاصله‌ی ۲۰ تا ۳۰ درصد است. برای عامل اندازه‌ی ذرات کم‌ترین مقدار MSNR در ابعاد ۵۰۰ میکرومتر مشاهده شد و با تغییر اندازه‌ی ذرات خوراک ورودی از ۵۰۰ به ۷۰۰ میکرومتر مقدار MSNR افزایش یافت اما با افزایش بیشتر در اندازه‌ی ذرات از مقدار MSNR کاسته شد. اثر عامل‌های مختلف بر پیش کنسانتره‌سازی در جدول ۶ نشان داده شده است. سطح‌های بهینه‌ی عامل‌ها برای بیشینه مقدار MSNR در شرایط اندازه‌ی ذرات ۷۰۰ میکرومتر (سطح ۲)، نرخ خوراک‌دهی ۱/۵ لیتر بر ثانیه (سطح ۳) و درصد جامد ۱۵ درصد (سطح ۱) به دست آمد.

جدول ۵. کل زیان کیفیت بهنجار شده (TNQL) و نسبت سیگنال به نویز چندگانه (MSNR)

MSNR(dB)	TNQL	C	B	A	শماره‌ی آزمایش
۰.۶۰۷۱	۰.۸۶۹۵	۱	۱	۱	۱
۰.۷۱۲۰	۰.۸۴۸۷	۲	۲	۱	۲
۰.۴۶۶۷	۰.۸۹۸۱	۳	۳	۱	۳
۲.۵۳۸۸	۰.۵۵۷۳	۲	۱	۲	۴
۲.۴۰۷۴	۰.۵۷۴۴	۳	۲	۲	۵
۱.۱۱۸۶	۰.۷۵۵۳	۱	۲	۲	۶
۱.۶۰۶۷	۰.۶۹۰۷	۳	۱	۳	۷
۱.۰۲۴۲	۰.۷۸۹۹	۱	۲	۳	۸
۰.۸۴۵۸	۰.۸۲۳۰	۲	۳	۳	۹

جدول ۶. اثر سطح‌های عامل‌ها بر نسبت‌های S/N چندگانه (dB)

درجه‌ی اهمیت	اختلاف بینیشه	سطح ۳	سطح ۲	سطح ۱	علامت	عامل‌ها
۱	۱.۴۵۹۶	۱.۱۵۸۹	۲.۰۵۴۹*	۰.۵۹۵۳	A	اندازه‌ی ذرات
۲	۰.۷۴۰۵	۰.۸۴۳۷	۱/۳۸۱۲	۱.۵۸۴۲*	B	درصد جامد خوراک
۳	۰.۵۴۳۶	۱.۴۹۳۶*	۱.۳۶۵۶	۰.۹۵۰۰	C	نرخ خوراک‌دهی

\* سطح بهینه



معنی دار است. در این مطالعه، درجه‌ی آزادی خطای ۲ است. مقدار

$F_{cr}$  برای این آزمایش‌ها، درجه‌ی آزادی ۲ و سطح اطمینان ۹۵ درصد، ۱۹ است. بر مبنای این نتایج، نسبت F برای اندازه‌ی ذرات خوراک و روودی و درصد جامد بزرگ‌تر از مقدار  $F_{cr}$  است. این بیان‌گر آن است که واریانس این عامل‌ها معنی دار است و آن‌ها اثرات معنی داری بر روی پاسخ آزمایش‌ها دارند.

انجام آزمایش‌های اعتبارسنجی، یک مرحله‌ی نهایی بسیار مهم در اثبات صحت طراحی آزمایش‌ها است. هدف از انجام آزمایش‌های اعتبارسنجی، تأیید اعتبار شرایط بهینه‌ی پیش‌بینی شده به وسیله‌ی ماتریس آزمایش‌ها، به منظور ارزیابی بهینه‌ی مقدارهای قابل انتظار شاخص‌های کیفیت است. این آزمایش‌ها در شرایط بهینه‌ی تعیین شده انجام شد، مقادیر پیش‌بینی شده‌ی عیار و بازیابی و نتایج این آزمایش‌ها در جدول ۸ داده شده است. مقدار پیش‌بینی شده در مقدار MSNR در سطح‌های بهینه‌ی متغیرهای فرایند مطابق با محاسبات، ۰,۵۹٪ تعیین شد، این در حالی است که در آزمایش‌های اعتبارسنجی مقدار ۰,۵۴٪ (عیار ppm ۲,۵۴) به دست آمد. با مقایسه‌ی عیار و بازیابی در آزمایش اطمینان با آزمایش اولیه که در آن عیار و بازیابی، به ترتیب، ۰,۴۳٪ و ۰,۴۳٪ است، هم‌چنان که مشاهده می‌شود افزایش قابل توجهی در مقادیر این شاخص‌های کیفیت روی داده است.

### ANOVA نتایج

برای بررسی پارامترهای مؤثر بر یک فرایند، از ANOVA استفاده می‌شود. ANOVA برای شاخص‌های کیفیت عیار و بازیابی در جدول ۷ نشان داده شده است. ردیفی که در جدول به عنوان خطای Error (Error) نشان داده شده، مجموع سهم خطاهای دیگر را نشان می‌دهد که متأثر از عامل‌های غیرقابل کنترل (نویزها) و یا پیش‌بینی نشده بوده است. همان‌طور که از جدول مشاهده می‌شود، مقادیر محاسبه شده‌ی خطای در حدود ۳ درصد است. این نتیجه نشان‌دهنده‌ی آن است که خطای آزمایش پایین بوده و یا حتی اگر عاملی در طراحی منظور نشده، برآیند آن با سایر خطاهای نقش بارزی در ایجاد خطای کلی نداشته است، به عبارت دیگر مجموع عامل‌های غیرقابل کنترل اثر معنی داری در روند طراحی آزمایش نداشته است. براساس اطلاعات این جدول، مؤثرترین عامل اندازه‌ی ذرات با درصد اثر ۶۸,۹۲٪ و دویمن عامل معنی دار، درصد جامد با مقدار ۱۷,۹۹٪ است.

نسبت واریانس (F-ratio) برای مشخص کردن اثرات معنی دار هر عامل بر روی MSNR مورد استفاده قرار می‌گیرد. مقادیر بالای نسبت F، نشان‌دهنده‌ی اثر بیش‌تر بر روی MSNR است. برای هر پارامتر نسبت واریانس با F بحرانی<sup>(۶)</sup> (نسبت واریانس موجود در جداول‌های استاندارد در یک حد اطمینان) مقایسه می‌شود، اگر مقدار نسبت واریانس بیش‌تر از مقادیر F بحرانی باشد، آزمایش‌های آماری در درجه‌ی اطمینان انتخاب شده

جدول ۷. تحلیل واریانس (ANOVA) برای شاخص‌های کیفیت چندگانه (عیار و بازیابی)

منبع واریانس	f	(S)	Mجموع مربعات	واریانس	(V)	نسبت واریانس	(F)	Mجموع مربعات خالص	واریانس بحرانی	(F <sub>cr</sub> )	(P)	(S')	(P)
اندازه‌ی ذرات	۲	۳,۲۴۹	۱,۶۲۴	۷۸	۱۹	۱۹	۳,۲۰۸	۳,۲۰۸	۰,۲۰۸	۰,۲۰۸	۰,۹۲۳	۰,۹۲۳	۰,۹۲۳
درصد جامد	۲	۰,۸۷۹	۰,۴۳۹	۲۱,۱۰۱	۱۹	۱۹	۰,۸۳۷	۰,۸۳۷	۰,۸۳۷	۰,۸۳۷	۱۷,۹۹۱	۱۷,۹۹۱	
نرخ خوراک‌دهی	۲	۰,۴۸۴	۰,۲۴۲	۱۱,۶۲	۱۹	۱۹	۰,۴۴۲	۰,۴۴۲	۰,۴۴۲	۰,۴۴۲	۹,۵۰۵	۹,۵۰۵	
خطا	۲	۰,۰۴	۰,۰۲	۰,۰۲	۰,۰۲	۰,۰۲	۰,۵۸۱	۰,۵۸۱	۰,۵۸۱	۰,۵۸۱	%۱۰۰	%۱۰۰	
مجموع	۸	۴,۶۴۵											

جدول ۸. نتیجه‌های آزمایش‌های اطمینان در سطوح‌های بهینه‌ی متغیرها

متغیرهای بهینه		پیش‌بینی شده		تجربی (تکرار)		سطح	
تجربی	آزمایش	تجربی	آزمایش	A <sub>۱</sub> B <sub>۱</sub> C <sub>۱</sub>	A <sub>۱</sub> B <sub>۱</sub> C <sub>۲</sub>	تجربی	آزمایش
۴۲۹,۱۳	۴۱۹,۲۸	-	-	۲۸۵,۳۶	۲۸۵,۳۶	عیار (ppm)	
۵۵,۷۶	۵۸,۳	-	-	۵۴,۳۵	۵۴,۳۵	بازیابی (%)	
۰,۵۴۵۶	۰,۵۹۱	۰,۶۰۷۱	۰,۶۰۷۱	MSNR	MSNR		



5. Nuclear Energy Agency, Uranium 2007: Resources, Production and Demand, OECD Nuclear Energy Agency and the International Atomic Energy Agency (2008) 218-223.
6. P.M.B. Pillai, Naturally Occurring Radioactive Materials (NORM) in the Extraction and Processing of Rare Earths, Indian Rare Earths Ltd (2008) 1-4.
7. G. Özbayoğlu, Atalay, Beneficiation of bastnaesite by a multi-gravity separator, *Journal of Alloys and Compounds*, 303 (2000) 520-523.
8. M. Kul, Y. Topkaya, İ. Karakaya, Rare earth double sulfates from pre-concentrated bastnasite, Elsevier, *Hydrometallurgy*, 93 (2007) 129-135.
9. Y.M. Anwar, A.M. Abdel-Rehim, Extraction of thorium from Egyptian monazite Bull, *Fac. Sci. Alex. Univ*, 10 (1970) 152-171.
10. F.L. Cuthbert, Thorium Production Technology, US Atomic Energy Comm., Addison (1958).
11. C. Maurice, N. Kenneth, Principles of mineral processing, SME, -Technology & Engineering (2003) 2422.
12. J. Antony, Multi-response optimization in industrial experiments using Taguchi's quality loss function and principal component analysis, *Quality and Reliability Engineering International*, 16 (2000) 3.
13. N. Aslan, Multi-objective optimization of some process parameters of a multi-gravity separator for chromite concentration, *Separation and Purification Technology*, 64 (2008) 237.
14. P.J. Ross, Taguchi Techniques for Quality Engineering, McGraw Hill, New York (1988).
15. M.S. Phadke, Quality Engineering Using Robust Design, Prentice-Hall, Englewood Cliffs, NJ (1989).
16. J. Antony, Simultaneous Optimisation of Multiple Quality Characteristics in Manufacturing Processes Using Taguchi's Quality Loss Function, *The International Journal of Advanced Manufacturing Technology*, 17 (2001) 134.
17. W.H. Yang, Y.S. Tarn, Design optimization of cutting parameters for turning operations based on the Taguchi method, *Journal of Materials Processing Technology*, 84 (1998) 122.

#### ۴. نتیجه‌گیری

بهینه‌سازی هم‌زمان شاخص‌های کیفیت عیار و بازیابی برای پیش تغییض توریم با دستگاه مارپیچ همفری با استفاده از تابع زیان کیفیت تاگوچی به انجام رسید. آزمایش‌های انجام شده نشان داد که با استفاده از دستگاه مارپیچ همفری می‌توان عیار توریم سنگ معدن توریم- اورانیم آنومالی ۵ ساغند را از ۱۶۵ به ۴۲۰ ppm افزایش داد. هم‌چنین نتایج نشان داد که سطح‌های بهینه‌ی متغیرهای فرایندی برای به دست آوردن عیار و بازیابی بیشینه‌ی توریم به وسیله‌ی جداکننده‌ی مارپیچ همفری، اندازه‌ی ذرات خوراک و رودی ۷۰۰ میکرومتر، نرخ خوراک‌دهی ۱/۵ لیتر بر ثانیه و درصد جامد ۱۵ درصد بوده و پارامترهای اندازه‌ی ذرات خوراک و درصد جامد اثر بسیار مهمی در شرایط عملیاتی فرایند پیش تغییض دارند. با انجام بهینه‌سازی، عیار و بازیابی، به ترتیب، ۴۹ و ۵ درصد افزایش یافت که در مقایسه با مقادیر عیار و بازیابی برای آزمایش اولیه افزایش قابل توجهی است.

#### پی‌نوشت‌ها

۱. Pulp
۲. Quality Characteristics Values
۳. Quality Loss Values
۴. Multiple Signal to Noise Ratio
۵. Quality Index
۶. Critical F

#### مراجع

1. U. Turan, What is the potential use of thorium in the future energy production, *Progress in Nuclear Energy*, 37 (2000) 137-144.
2. J. Merkel Broder, Andrea Hasche-Berger, *Uranium, Mining and Hydrogeology*, Springer (2008) 54-58.
3. R. Omar, Z. Ali Rahman, M.T. Latif, Rare earth processing in Malaysia, *Proceedings of the Regional Symposium on Environment and Natural Resources*, Malaysia. 1 (2002) 287-295.
4. B. Samani, Geological phenomena and uranium mineralization in the Sagand area, *Atomic Energy Organization of Iran*, (1366) 11-19.



